

تکامل ریزساختاری سنگ کره گوشه‌ای افیولیتی‌های دگرگونی خوی، شمال باختر ایران

نوشته: محمد رهگشای* ایمان منصف* هادی شفائی مقدم* و محمد محجُل**

*دانشکده علوم زمین، دانشگاه شهید بهشتی، تهران، ایران؛ **گروه زمین‌شناسی تکتونیک، دانشگاه تربیت مدرس، تهران، ایران

Microstructural Evolution of the Mantle Lithosphere in the Khoy Ophiolites – NW of Iran

By: M.Rahgoshay*, I.Monsef *, H.Shafaii Moghadam* & M.Mohajjal**

*Earth Sciences Faculty, Shahid Beheshti University, Tehran, Iran;

** Department of Geology, Tarbiyat Modares University, Tehran, Iran.

تاریخ پذیرش: ۱۳۸۴/۰۴/۲۶

تاریخ دریافت: ۱۳۸۴/۱۲/۲۰

چکیده

مطالعات پتروفابریکی، ساختاری و ژئوشیمیایی تکتونیت‌های اولترامافیک زون دگرگونی خاوری مجموعه افیولیتی خوی نشان می‌دهد که این سنگها حاوی پهنه‌های برشی دما پایین با امتداد شمال باختری - جنوب خاوری هستند که جهت جریان گوشه‌ای دما بالا تا دما متوسط با امتداد شمال خاوری - جنوب باختری را قطع کرده‌اند. ریزساختارها در این تکتونیتها، یک تحول فابریکی را از بافت‌های پورفیروکلاستیک تخت و دوکی شکل (مربوط به دگرگشکلی‌های دما بالا تا دما متوسط بخش‌های گوشه‌ای) به سمت بافت‌های میلونیتی (با دگرگشکلی دما پایین درون پهنه‌های برشی) نشان می‌دهند. مطالعه الگوهای جهت‌یابی ترجیحی شبکه‌ای کانی الیوین در نمونه‌های با دگرگشکلی دما بالا و دما متوسط گوشه‌ای لغزش را بر روی سیستمهای [100] (010) دما بالا و تنش پایین و [100] (0kl) دما متوسط (بیش از ۱۰۰۰ درجه سانتی‌گراد) نشان می‌دهند در حالی که الگوهای جهت‌یابی ترجیحی شبکه‌ای کانی الیوین در نمونه‌های با دگرگشکلی دما پایین درون پهنه‌های برشی، گویای سیستم لغزش [100] (001) دمای پایین (۱۰۰۰ درجه سانتی‌گراد) است. اسپینلهای همراه این پریدوتیتها با تغییرات چشمگیر عدد کروم (۱۰ تا ۹۰ = # Cr) و عدد منزیم (۹۰ تا ۵۰ = # Mg) همراه می‌باشند. کلینوپیروکسنها عموماً غنی از کروم بوده که نشان‌دهنده ذوب بخشی محدود این پریدوتیتهاست. تغییرات شدید ترکیب شیمیایی اسپینلهای می‌تواند به فرایند ذوب بخشی و تبلور دوباره این کانی طی فاز جداشگی سنگ کره گوشه‌ای و توسعه پهنه‌های برشی مرتبط باشد.

کلید واژه‌ها: مجموعه افیولیتی خوی، تکتونیت‌های اولترامافیک، پهنه‌های برشی، جهت‌یابی ترجیحی شبکه‌ای، سیستم لغزش

Abstract

Petrofabric, structural and geochemical study of the ultramafic tectonites in the Khoy ophiolitic complex suggest that these tectonites including low-temperature NW-SE shear zones cut the high-temperature to medium-temperature NE-SW mantle flow direction. Microstructures in these tectonites, record a fabric transition from oblate porphyroclastic and oblong porphyroclastic textures (related to the high- and medium-T deformations in mantle sections) to mylonitic textures (with low-T deformation in the shear zones). The study of olivine LPO patterns in high- and medium-T deformation samples of mantle shows slip on the (010) [100] high-temperature-low stress and (0kl) [100] moderate-temperature systems (up to 1000°) while olivine LPO patterns in the low-T deformation samples within the shear zones indicate gliding along (001) [100] low-temperature slip system (800-900°). Spinel in these peridotites show high variations in Cr number (10 to 90) and Mg number (50 to 90). Cpxs rich in Cr suggest a low degree of partial melting in these peridotites. The very variable composition of the spinels may be the result of partial melting process and recrystallization of these minerals in the mantle lithosphere during the detachment phase and the development of the shear zones.

Key words: Khoy ophiolitic complex, Ultramafic tectonites, Shear zones, Lattice preferred orientation (LPO), Slip system.

۲- موقعیت زمین‌شناسی

مجموعه افیولیتی خوی در شمال باخته ایران با راستای شمال باخته به جنوب خاوری گسترش قابل توجهی دارد که حاشیه باخته آن تا مرز ترکیه نیز امتداد پیدا کرده است (شکل ۱). این مجموعه افیولیتی توسط زمین‌شناسان متعددی بررسی شده است از جمله: نقشه ۱:۲۵۰۰۰ خوی (Ghorashi & Arshadi, 1978)، نقشه ۱:۱۰۰۰۰ (Amini et al., 1993) و نقشه ۱:۱۰۰۰۰ خوی (Radfar et al., 1993) و بحث سنگ‌شناسی و ژئوشیمی افیولیت خوی (Hassannipak & Ghazi, 2000) مطالعه سنگ‌شناسی و دما-فشارسنجی (Azizi, 2001; Azizi et al., 2004) دگرگونیهای خاوری افیولیت خوی (Khalatbari Jafari, 2002; Khalatbari Jafari et al., 2003; Khalatbari Jafari et al., 2004) بررسیهای زمین‌شناسی، سنگ‌شناسی، زمین‌گاهشماری (ژئوکرونولوژی) و ژئوشیمیابی مجموعه افیولیت خوی (Khalatbari Jafari et al., 2003; Khalatbari Jafari et al., 2004) وجود دو نوع مطالعات پیشین (Khalatbari Jafari et al., 2003) و جهت داده از مجموعه افیولیت با سن متفاوت شامل کمپلکس دگرگونی خاوری دارای قطعه‌های افیولیت دگرگونی با سن ژوراسیک پیشین تا ژوراسیک میانی و کمپلکس افیولیتی دگرگون نشده به سن کرتاسه پسین را در این منطقه نشان داده است.

تکتونیتهای الترامافیک در بخش مجموعه دگرگونی خاوری قرار داشته که از باخته روستای خانقه شروع و به سمت شمال باخته تا حوالی روستای آق‌باش ادامه پیدا می‌کند. این واحدهای سنگی بر روی متابازیتها روانده شده و به طور عمده شامل تکتونیتهای لرزولیتی و به مقادیر کمتر، هارزبورژیتی است که به خوبی دگرشکلی گوشته‌ای را نشان می‌دهند (شکل ۱).

۳- روش مطالعه

در مقیاس ماکروسکوپی، ساختارهای خطوارگی (Lineation) درون تکتونیتهای الترامافیک منطقه معمولاً به وسیله کشیدگی بلورهای کروم - اسپینل و ارتوپیروکسن مشخص شده‌اند. این ساختارها بر روی زمین اندازه‌گیری و سپس در آزمایشگاه به کمک مقاطع نازک تهیه شده از نمونه‌های جهت دار کنترل شده‌اند. تحلیل ساختاری جهت یابیهای خطوارگی درون تکتونیتهای الترامافیک در شکل ۱ نشان داده شده است. روند خطوارگیهای موجود در مسیر دگرشکلی دما بالا و دما متوسط حاصل از جریانهای گوشته‌ای (سست کره‌ای و سنگ‌کره‌ای) با جهت شمال خاوری - جنوب باخته و روند خطوارگیهای موجود در مسیر دگرشکلی دما پایین

۱- مقدمه

در مراحل اولیه جداش (Detachment) سنگ‌کره اقیانوسی، یک سری پهنه‌های برشی به صورت محلی در درون گوشته سنگ‌کره‌ای اقیانوسی ایجاد می‌شوند که رفتار تغییر شکلی متفاوتی نسبت به تکتونیتهای میزان دارند (Van Derwal et al., 1992). این گونه پهنه‌های برشی شکل پذیر (Ductile shear zones) نقش مهمی در محدود شدن کرنش (Strain localization) در پوسته زیرین و گوشته بالایی دارند. کاهش دینامیکی اندازه بلورها منجر به ضعیف شدن و همچنین محلی شدن کرنش طی دگرشکلی همراه با جابه‌جایی خزشی طی لغزش مرز دانه‌ای در پهنه‌های برشی می‌گردد (Dijkstra et al., 2001). این پهنه‌های برشی در گوشته بالایی در اثر عملکرد فازهای تغییر شکلی متفاوتی تشکیل شده و بر خواص سیلان‌شناسی (Reology) گوشته تأثیر بسیاری می‌گذارند. طبیعت جنبشی (Kinematic) جریانهای شکل پذیر در این گونه پهنه‌های برشی توسط عناصر فابریکی و یا نشانگرهای جهت برش مشخص می‌شود (Simpson & Schmid, 1983). این عناصر فابریکی می‌توانند در گوشته، ایجاد فابریکهای مورب نمایند (Van Derwal et al., 1992; Law et al., 1984) که نشان‌دهنده جهت برش طی دگرشکلیهای ناهم محور (Non-coaxial) و دما بالا هستند. جهت یافته‌گی ترجیحی شبکه‌ای کانی الیوین در پریدوتیها و همچنین در پهنه‌های برشی گوشته‌ای یکی دیگر از نشانگرهای سازوکارهای دگرشکلی و جریان در گوشته سنگ‌کره‌ای است. به طور کلی کانی الیوین یکی از مناسب‌ترین کانیهای تشکیل‌دهنده تکتونیتهای گوشته‌ای است که برای توجیه و تفسیر رژیمهای دگرشکلی گوشته از آن استفاده می‌شود، زیرا کانی الیوین دارای سیستمهای لغزشی ساده با امکان رفتار (Strength yield) (Bai et al., 1991;) متفاوت در شرایط مختلف دما و فشار است (Durham & Goetze, 1977).

در این مقاله، پهنه‌های برشی گوشته‌ای و تفکیک رفتار دگرشکلی آنها نسبت به تکتونیتهای میزان (جریان گوشته‌ای اولیه در پشته‌های میان اقیانوسی) و نقش آنها در مراحل اولیه جداش سنگ‌کره اقیانوسی در توالی گوشته‌ای زون دگرگونی خاوری مجموعه افیولیتی خوی مورد مطالعه قرار گرفته و به کمک ویژگیهای سنگ‌شناسی، ژئوشیمیابی و پetrofابریکی پریدوتیهای تکتونیتی، تکامل دینامیکی سنگ‌کره گوشته‌ای این مجموعه مورد بحث قرار می‌گیرد.

وجود رگه‌های به نسبت نازک کلینوپیروکسنتی است که تشکیل آنها می‌تواند در ارتباط با متاسوماتیسم گوشتهای باشد (شکل ۲-۶).

۴-۲-پریدوتیهای واحد قینار پایین

این واحد شامل پریدوتیهای به شدت دگرسان است که به طور کامل به سرپانتین، تالک و کلریت تبدیل شده‌اند. الیوینها تقریباً به طور کامل به سرپانتینیت تبدیل شده‌اند. همچنین در این سنگها، اشکال دروغین مگنتیت سطوح پیروکسن را کم و بیش اشغال کرده‌اند به طوری که رخ و نوارهای شکنجی پیروکسنها حفظ شده و بافت باقی‌مانده (Relict) را بر جای گذاشته‌اند (شکل ۳). در حقیقت، پریدوتیهای سرپانتینی شده، در اثر واکنش با محلولهای داغ گرمابی به شدت دگرسان شده‌اند. این سنگها به دلیل دگرسانی شدید، کلسیم و آلومینیم بالاتری دارند.

۴-۳-پریدوتیهای واحد خانقه

این پریدوتیها بیشتر رسی و کلریتی شده‌اند به طوری که دگرسانی در پیروکسنها سنگ بیشینه است (شکل ۴-۱). در برخی از نمونه‌های شده‌اند و در برخی موارد، در اثر عملکرد فاز دگرگونی بعدی، سرپانتینها در حال تبدیل به تالک و بروسیت هستند (شکل ۴-۲). بلورهای کرومیت و همچنین به فریت کرومیت تبدیل شده‌اند (شکل ۴-۳ و ۴-۴).

به طور کلی، سنگهای تکتونیتیک اترامافیک یک غنی‌شدگی از عنصر دیرگدازی چون کروم، نیکل و منیزیم نشان داده و در عوض از عنصر سبک تر نظری پتانسیم، کلسیم و سدیم فقر هستند.

همان گونه که در شکل ۵ مشخص است، مقدار کروم (Ni = 1970-2788 ppm) در نمونه‌های پریدوتیتی بالاست و در نمودار کروم و نیکل در مقابل اکسید منیزیم یک غنی‌شدگی دیده می‌شود.

مقدار مس موجود در این پریدوتیها نیز اندک و بین صفر تا حدود ۷۰ ppm متغیر است. مقدار وانادیم (V=36-80 ppm) این نمونه‌ها نیز نسبت به عناصر سازگار بالاتر بوده و یک روند تقریباً منفی را نسبت به اکسید منیزیم نشان می‌دهد (شکل ۵).

نمونه‌های پریدوتیتی کاملاً دگرسان شده (مانند نمونه GH14 از واحد قینار پایین) حاوی مجموعه‌ای از کانیهای ثانویه همچون تالک، کربنات، سیلیس، نامتبلور و نهان بلورین است.

مقدار $(11.70 \text{ Wt \%}) \text{ FeO}_{\text{Total}}$, $(11.82 \text{ Wt \%}) \text{ Al}_2\text{O}_3$ و $(9.97 \text{ Wt \%}) \text{ CaO}$ و $(53.09 \text{ Wt \%}) \text{ SiO}_2$ و همچنین عناصر مس

درون پهنه‌های برشی با روند شمال باخته - جنوب خاوری مشخص شده‌اند.

به منظور انجام تحلیلهای پتروفاربریکی بر روی کانی الیوین، از بخش‌های گوشتهای زون دگرگونی خاوری نمونه‌برداری شده است. نمونه‌های با دگرگشکلی دما بالا تا دما متوسط نشان دهنده بافت پورفیروکلاستیک تخت (درشت بلور) تا دوکی شکل (ریزبلور) هستند، در حالی که نمونه‌های با دگرگشکلی دما پایین دارای ریزاساختارهای متغیری بوده و به طور عموم نشان دهنده بافت میلیونیتی هستند.

مطالعه جهت‌یابی محورهای بلورشناسی کانی الیوین با استفاده از پلاتین یونیورسال انجام شده و داده‌ها بر روی شبکه هم‌مساحت یا شبکه اشمیت (نیمکره پایینی) پیاده شده است.

تجزیه کل سنگ از نمونه‌های پریدوتیتی به روش فلورسانی پرتو ایکس (XRF) در سازمان زمین‌شناسی و اکتشافات معدنی کشور انجام گرفته است (جدول ۱). به منظور مطالعات ژئوشیمیایی کانیهای موجود در تکتونیتی‌های گوشتهای این منطقه نیز، تجزیه میکروپروب الکترونی در دانشگاه پاریس VI و نانسی فرانسه با استفاده از دستگاه Cameca SX-50 انجام پذیرفته است (جدولهای ۲، ۳ و ۴).

۴- مطالعات سنگ‌شناسی و تجزیه ژئوشیمیایی کل سنگ

بر اساس ویژگیهای سنگ‌شناسی و ژئوشیمیایی می‌توان تکتونیتی‌های اولترامافیک را به سه واحد سنگی گلوانس، قینار پایین و خانقه تقسیم‌بندی کرد (شکل ۱).

۴-۱-پریدوتیهای واحد گلوانس

این نمونه‌ها دارای مقدار بالایی از اکسید کلسیم $\text{CaO}=2.17 \text{ Wt\%}$ میانگین) و اکسید آلومینیم $\text{Al}_2\text{O}_3=2.18 \text{ Wt\%}$ (میانگین) هستند. بلورهای کرومیت در امتداد رخ پیروکسنها و یا در اطراف کانیهای پیروکسن و الیوین (به صورت سایه فشارشی دروغین) و همچنین به صورت قطره‌های کوچک بی‌شکل (Holly leaf) (شکل ۲-۳) و یا به صورت کرمی شکل (شکل ۲-۲) مشاهده می‌شوند. این کرومیتها ریزبلور بوده $(5/0 \text{ میلی‌متر})$ و در سراسر متن سنگ (متشكل از الیوین) پخش شده‌اند و دارای خطوارگی کششی (Stretching Lineation) هستند (شکل ۲-۱). نمونه‌های این واحد کمتر سرپانتینی شده‌اند و در برخی از نقاط سرپانتینیتیها در اثر عملکرد فاز دگرگونی بعدی در حال تبدیل به تالک و بروسیت می‌باشند (شکل ۲-۴). در اثر عملکرد فاز دگرگونی ثانویه ترمولیت نیز درون این پریدوتیها تشکیل شده است (شکل ۲-۵). یکی دیگر از ویژگیهای این لرزولیتیها،

همانند ارتوپیروکسنها همراه، به نظر می‌رسد که ذوب بخشی گوشه‌ای بسیار محدودی را متحمل شده باشند (Rahgoshay, 1986; Johnson et al., 1990)

(V = 165 ppm) و وانادیم (Cu = 210 ppm) در نمونه مذکور نسبتاً بالا بوده و در عوض میزان MgO (9.632 Wt%) و عناصر نیکل (Cr = 193 ppm) و کروم (Ni = 79 ppm) آن پایین است.

۶- مطالعات پتروفابریکی

به کمک مطالعات پتروفابریکی پریدوتیتها می‌توان جریانهای سست کره‌ای با دگرشکلی دما بالا را از دگرشکلیهای سنگ کردهای دما پایین تفکیک کرد (Nicolas, 1989). به طور کلی، دو گونه بافت متفاوت شامل بافت پورفیروکلاستیک و بافت میلونیتی درون پریدوتیتها قابل تشخیص است. بافت پورفیروکلاستیک به وسیله حضور پورفیروکلاستهای کشیده شده الیوین (همراه با مقدار اندکی نثوبلاستهای الیوین حاصل از تبلور دینامیکی) مشخص می‌شود. این بافت را به جریانهای گوشه‌ای در پشته میان اقیانوسی نسبت می‌دهند (Nicolas, 1989). بر عکس، بافت‌های میلونیتی معمولاً خاص پهنه‌های برشی بوده و به وسیله حضور چندین نسل از نثوبلاستهای با اندازه‌های متفاوت مشخص می‌شود که به طور عمده پیرامون پورفیروکلاستهای درشت در حال رشد هستند (Harter, 1977; Mercier, 1985).

از لحاظ تکامل پتروفابریکی، سه نوع فابریک ساختاری درون تکتونیتها از الترامافیک منطقه قابل مشاهده است:

۱- بافت پورفیروکلاستیک تخت (Boudier, 1987) یا بافت پورفیروکلاستیک (Coarse-grained porphyroclastic texture) درشت بلور (Shale, 1987) (شکل ۱۱، شماره ۱ و ۲).

۲- بافت پورفیروکلاستیک دوک مانند (Boudier, 1987) یا بافت پورفیروکلاستیک ریزبلور (Oblong porphyroclastic texture) (شکل ۱۱، شماره ۳ و ۴).

۳- بافت میلونیتی (Mylonitic texture) (شکل ۱۱، شماره ۵ و ۶).

۶- بافت پورفیروکلاستیک تخت

در این پریدوتیتها، پورفیروکلاستهای بزرگ الیوین (با اندازه ۲ تا ۴ میلی‌متر) تبلور دوباره‌ای را به سمت نثوبلاستهای با اندازه ۰.۷-۰.۱ میلی‌متر نشان می‌دهند. همچنین در بعضی از نمونه‌ها می‌توان توسعه دوقلویی دگرشکلی را در نتیجه جریان پلاستیک (تحت شرایط دگرشکلی سست کره‌ای)، در بلورهای الیوین مشاهده کرد (شکل ۱۰-۱ و ۱۰-۲).

برخلاف پورفیروکلاستهای الیوین که دارای مرز دانه‌ای بسیار نامنظم و منحنی شکلی هستند (شکل ۱۱-۱ و ۱۱-۲)، نثوبلاستهای الیوین مرزهای مستقیم و شکلهای منظم تا چندوجهی دارند.

۵- تجزیه ژئوشیمیایی کانیها

۵-۱- کروم- اسپینل

عدد کروم (Cr#) در کرومیتها بر جای مانده (Residual) در پریدوتیتها بین ۹۰ تا ۱۰ در تغییر بوده و مقدار عدد منیزیم (Mg#) آنها بین ۵۰ تا ۹۰ در نوسان است. این دو عدد رابطه‌ای منفی با یکدیگر نشان می‌دهند و با افزایش عدد کروم، عدد منیزیم کاهش می‌یابد (شکل ۶). رابطه میان کاتیونهای منیزیم (Mg) و آلومینیم (Al) مثبت بوده و با افزایش میزان Cr#/Mg# نیز افزایش می‌یابد. با توجه به نمودارهای Cr#/Mg# (شکل ۶)، دو گروه کرومیت درون پریدوتیتها قابل تشخیص است: I- بلورهای کرومیت با عدد کروم بالا و میزان منیزیم پایین و II- بلورهای کرومیت با مقدار عدد کروم پایین و میزان منیزیم بالا (شکل ۶). این کرومیتها در برخی از موارد حاوی میانارهای از کانیهای سولفیدی هستند (شکل ۷a). تجزیه نیمه کمی این سولفیدها با استفاده از میکروسکوپ الکترونی روبشی (SEM) نشان‌دهنده ترکیب تک فازی سولفیدی و فاز غنی از نیکل و آهن یعنی پنتلاندیت است (شکل ۷b).

۵-۲- الیوین

مقدار درصد فورستریت (%) الیوینهای موجود در پریدوتیها مذکور در حدود ۹۰ درصد بوده که نشان‌دهنده درصد بالایی از منیزیم در این کانی و معرف پریدوتیها باقی مانده گوشه‌ای (Residual peridotites) است. مقدار NiO الیوینها بین ۰ تا ۰/۵ درصد وزنی متغیر بوده و هیچ گونه رابطه‌ای با میزان فورستریت آنها نشان نمی‌دهد (شکل ۸).

۵-۳- پیروکسنها

ترکیب ارتوپیروکسنها موجود در این پریدوتیها انستاپیتی (WolFs10En88-WolFs9Es89) بوده و به طور کلی آلومین- کرومین- انستاپیت است. درصد انستاپیت آنها (%) از ۸۱ تا ۹۶ متغیر است (شکل ۹). از ویژگیهای مهم این ارتوپیروکسنها مقادیر به نسبت زیاد کروم ($\text{Cr}_2\text{O}_3 = 0.367 - 0.89 \text{ Wt\%}$) آنهاست.

کلینوپیروکسنها موجود در پریدوتیهای منطقه را می‌توان با عنوان آلومین- کرومین- Wo28Fs5En65-Wo49FsEn46 دیوپسید و آلومین- کرومین- اوژیت رده‌بندی کرد. کلینوپیروکسنها مورد مطالعه بسیار غنی از کروم ($\text{Cr}_2\text{O}_3 = 0.525 - 1.15 \text{ Wt\%}$) بوده و

۶-۳- بافت میلوفنیتی

این بافت یک توزیع دوگانه اندازه بلورها را نشان داده که به طور کلی از پورفیرو-کلاستهای چشمی (Augen) کلینوپیرو-کسن در اندازه میلی‌متری تا الیونهای ریزبلور تر متغیر است (شکل ۱۱-۵ و ۱۱-۶). اغلب بلورها، به شدت کشیده و ریزبلورهای متراکم معمولاً خاموشی موجی نشان داده و برگوارگی و خطوارگی واضحی دارند.

الیونهای تقریباً به طور کامل تبلور دوباره یافته‌اند و در اندازه‌های بلوری کوچک دیده می‌شوند (با اندازه دانه ۰/۰۲ تا ۰/۰۲ میلی‌متر) (شکل ۱۱-۶).

پورفیرو-کلاستهای کلینوپیرو-کسن کشیده بوده و حاوی نوار شکنجی می‌باشد که نشانه لغزش ناشی از جایه‌جایی در شبکه کانی است.

پورفیرو-کلاستهای ارتوپیرو-کسن نیز کشیده بوده و حاوی تیغه‌های برونرانشی (از کلینوپیرو-کسن) تقریباً موازی با برگوارگی است (شکل ۱۱-۵). در نمونه‌هایی با بافت میلوفنیتی مقدار این تیغه‌های برونرانشی زیادتر بوده و سبیرای بیشتری نیز دارند.

ثوبلاستهای ریزبلور بوده و دارای مرزهای دانایی نامنظم می‌باشند و در بعضی از موارد کشیدگی‌هایی به موازات صفحه برگوارگی نشان می‌دهند.

۷- الگوهای جهت‌یافته‌گی ترجیحی شبکه‌ای کانی الیون

بررسی توسعه جهت‌یافته‌گی ترجیحی شبکه‌ای کانی الیون بر روی نمونه‌های با دگرشکلی دما بالا و دما متوسط (HT-MT) مربوط به جریانهای گوشه‌ای و نمونه‌های با دگرشکلی دما پایین (LT) حاصل از پهنه‌های برشی انجام شده است.

جهت‌یافته‌گی ترجیحی شبکه‌ای کانی الیون در نمونه‌هایی با دگرشکلی دما بالا و دما متوسط، به وسیله تمرکز محور [۱۰۰] عمود بر صفحه برگوارگی، محور [۱۰۰] درون صفحه برگوارگی و تا حدودی به موازات خطوارگی و محور [۰۰۱] درون صفحه برگوارگی همراه با زاویه زیادی با خطوارگی مشخص شده است (شکل‌های ۱۲ و ۱۳).

جهت‌یافته‌گی ترجیحی شبکه‌ای کانی الیون در نمونه‌هایی با دگرشکلی دما پایین، به وسیله تمرکز محور [۱۰۰] درون صفحه برگوارگی و تا حدی مایل با خطوارگی، تمرکز محور [۰۰۱] تقریباً به صورت پراکنده و تمرکز محور [۰۱۰] تقریباً عمود بر صفحه برگوارگی مشخص می‌شود (شکل ۱۴). کل داده‌های الگوهای جهت‌یافته‌گی ترجیحی شبکه‌ای کانی الیون در شکل شماره ۱۵ نشان داده شده است.

۸- سیستم لغزشی الیون در پویایی‌های با دگرشکلی دما بالا (MT) و دما متوسط (HT)

الگوهای جهت‌یافته‌گی ترجیحی شبکه‌ای کانی الیون در نمونه‌های با دگرشکلی دما بالای گوشه‌ای (جریان سست‌کرده‌ای) که به طور پلاستیک

پورفیرو-کلاستهای الیون به میزان کمی کشیدگی داشته (شکل ۱۱-۲) و همراه با دانه‌های کروم-اسپینل خطوارگی سنگ را تشکیل می‌دهند.

پورفیرو-کلاستهای الیون حاوی یک ساختار در ریزبلورها (Subgrains) با فضای پهن می‌باشد که نوار شکنجی (Kink band) نیز نامیده شده و مرزهای ریزبلورها (یا دیواره‌های جایه‌جایی Dislocation walls) که اثراتی از سطح (001) الیون است) زاویه زیادی را با برگوارگی (Foliation) نشان می‌دهند (شکل ۱۱-۱ و ۱۱-۲) در حالی که در

ثوبلاستها این ساختارهای وابسته چندان توسعه پیدا نکرده‌اند. نسبلاستهای الیون جهت‌یافته‌گی تقریباً مشابه با پورفیرو-کلاستهای آن دارند که می‌توان فرایند تبلور دوباره با چرخش ریزبلور را برای آنها پیشنهاد کرد (Poirier & Nicolas, 1975).

پورفیرو-کلاستهای کلینوپیرو-کسن به صورت بلورهای مجزا، تقریباً در اندازه ۴ تا ۶ میلی‌متر هستند که به صورت تقریباً موازی با برگوارگی اصلی جهت‌یافته شده‌اند و دارای مرزهای به نسبت نامنظم با خمیره الیونی هستند. پورفیرو-کلاستهای کلینوپیرو-کسن حاوی نوار شکنجی بوده که نشانه لغزش ناشی از جایه‌جایی در شبکه کانی است (شکل ۱۰-۳ و ۱۰-۵). این پورفیرو-کلاستها تحت تبلور دوباره دینامیکی قرار گرفته‌اند. همچنین

ثوبلاستهای کلینوپیرو-کسن در امتداد نوارهای شکنجی رشد کرده‌اند. پورفیرو-کلاستهای ارتوپیرو-کسن نیز همانند کلینوپیرو-کسن دارای نوار شکنجی بوده، با این تفاوت که خمیدگی در نوارهای شکنجی نسبتاً شدیدتر است (شکل ۱۰-۴ و ۱۰-۶). تیغه‌های برونرانش (Exsolution lamellae) در ارتوپیرو-کسنهای به مقدار زیاد دیده می‌شود که در مرز نوارهای شکنجی تغییر جهت می‌دهند.

۶-۲- بافت پورفیرو-کلاستیک دوگ مانند

در این حالت پورفیرو-کلاستهای الیون کشیده بوده و با اندازه ۱ الی ۲ میلی‌متر، تبلور دوباره‌ای را به سمت ثوبلاستهای ریزبلور تر (کمتر از ۱ میلی‌متر) با شبکهای نیمه چند و جهی نشان می‌دهند. این پورفیرو-کلاستها اغلب دارای مرزهای مقعر و نامنظم بوده (شکل ۱۱-۳) و حاوی ساختارهای مشتمل از ریزبلورها با فضای بسته‌تر است که مرزهای ریزبلورها زاویه تقریباً حاده‌ای را با برگوارگی می‌سازند (شکل ۱۱-۴). هیچ گونه شکنجی در ثوبلاستها قابل مشاهده نیست. تورم (Bulging) مشاهده شده بین پورفیرو-کلاستهای الیون (شکل ۱۱-۳) نشانه‌ای از تبلور دوباره دینامیکی از نوع مهاجرت مرزدانه‌ای (Grain boundary migration recrystallization) است. پیرو-کسنهای به صورت بلورهای مجزا و کشیده بوده (تقریباً در اندازه ۲ تا ۴ میلی‌متر) که به صورت تقریباً موازی با برگوارگی اصلی قرار گرفته‌اند.

پنهانه‌های برشی) با روند شمال باخری - جنوب خاوری. مطالعات ساختاری الگوهای خطوارگی نشان می‌دهند که این پنهانه‌های برشی در درون جریانهای گوشه‌ای اولیه (جریانهای سست کره‌ای و سنگ کرمی) توسعه یافته‌اند.

نمونه‌های با بافت پورفیرو کلاستیک تخت در ارتباط با دگرگشکلی دما بالا و کرنش پایین یعنی 1200°C تا 1250°C درجه سانتی گراد در دماهای سولیدوس و هیپرسولیدوس مربوط به جریان گوشه‌ای سست کره‌ای در زیر مرکز گسترش اقیانوس است (شکل ۱۶).

نمونه‌های با بافت پورفیرو کلاستیک دوک مانند نشان دهنده دماهای پایین تر یعنی 1000°C تا 1100°C درجه سانتی گراد و کرنش بالاتر یا محلی شدن جریان حاصل از دگرگشکلی دما متوسط مربوط به جریان گوشه‌ای سنگ کرمی است (شکل ۱۶).

نمونه‌های با بافت میلیونی مربوط به دگرگشکلی دما پایین و کرنش بالای پنهانه‌های برشی در درون سنگ کرده گوشه‌ای است. دامنه دمایی 1000°C درجه سانتی گراد برای این نوع بافت در نظر گرفته می‌شود (شکل ۱۶).

درنتیجه، ریزاساختارها یک تکامل فابریکی را از بخش‌های گوشه‌ای با بافت پورفیرو کلاستیک تخت و دگرگشکلی دما متوسط با بافت پورفیرو کلاستیک دوکی شکل به سمت پنهانه‌های برشی با بافت میلیونی نشان می‌دهند (شکل ۱۶) که منجر به ایجاد ریزبلورهایی با فضای بسته‌تر و همچنین کاهش دینامیکی اندازه بلورها شده است.

الگوی جهت‌یافتنی ترجیحی شبکه‌ای کانی الیوین در نمونه‌های با دگرگشکلی دما بالا به طور عمدۀ لغزش را بر روی سیستم $[100^{\circ}\text{C}]$ نشان می‌دهند که عمدۀ ترین سیستم لغزشی در پریودیتهای به طور طبیعی دگرگشکل شده است. مطالعات تجربی نشان می‌دهند که سیستم لغزش $[100^{\circ}\text{C}]$ در شرایط بالاترین دما در میان سیستمهای لغزشی $[0^{\circ}\text{C}]$ فعال ترین سیستم لغزشی و نشان دهنده دماهای بالا و کرنش پایین (1200°C تا 1250°C) درجه سانتی گراد) است.

مطالعه الگوی جهت‌یافتنی ترجیحی شبکه‌ای کانی الیوین در نمونه‌های با دگرگشکلی دما متوسط به طور عمدۀ لغزش را بر روی سیستم $(0^{\circ}\text{C} \text{ to } 100^{\circ}\text{C})$ نشان می‌دهند که نشان دهنده دماهای متوسط (1100°C تا 1200°C) درجه سانتی گراد) است.

مطالعه الگوی جهت‌یافتنی ترجیحی شبکه‌ای کانی الیوین در نمونه‌های با دگرگشکلی دما پایین (حاصل از پنهانه‌های برشی) سیستم لغزش $[100^{\circ}\text{C}]$ دمای پایین (1000°C درجه سانتی گراد) را نشان می‌دهند. این سیستم لغزش $[100^{\circ}\text{C}]$ زمانی فعال می‌شود که جهت تنش فشارشی موازی با محور [۱۰۰] گردد (Bai et al., 1991; Bai & kohlstedt, 1992). بنابراین، جهت تنش فشارشی اصلی احتمالاً موازی با محور [۱۰۰] الیوین در حین

دگرگشکل شده‌اند، عمدتاً لغزش بر روی سیستم $[100^{\circ}\text{C}]$ را نشان می‌دهند (شکل ۱۲) که نشان دهنده دماهای بالا و تنش پایین (1200°C تا 1250°C درجه سانتی گراد) است (Nicolas & Poirier, 1976). ریخت‌شناسی نوارهای شکنجی در بلورهای الیوین موجود در تکتونیتهای منطقه نیز این سیستم لغزشی دما بالا (یعنی $[100^{\circ}\text{C}]$) را تأیید می‌کند (شکلهای ۱-۱۱ و ۲-۱۱).

الگوهای جهت‌یافتنی ترجیحی شبکه‌ای کانی الیوین در نمونه‌های با دگرگشکلی دما متوسط گوشه‌ای (جریان سنگ کرمی) لغزش بر روی سیستم $[100^{\circ}\text{C}]$ (0kl) را نشان می‌دهند (شکل ۱۳) که نشان دهنده دماهای متوسط Mercier, 1985; Nicolas & Poirier, 1976; Nicolas et al., 1973; Carter & Ave Lallement, 1970; Ave-Lallement, 1975; Zhang & Karato, 1995; (Zhang et al., 2000).

ریخت‌شناسی نوارهای شکنجی موجود در بلورهای الیوین نیز این سیستم لغزشی را تأیید می‌کنند. در این حالت موززهای نوارهای شکنجی (و یا دیوارهای جابه‌جایی) به طور مایل نسبت به برگوارگی قرار می‌گیرند (شکل ۴-۱۱). تغییرات جهت‌یافتنی ترجیحی شبکه‌ای کانی الیوین از یک نمونه به نمونه دیگر قابل مشاهده بوده که این الگوهای متفاوت جهت‌یافتنی ترجیحی شبکه‌ای را می‌توان به وسیله نوسانات و تغییرات میزان تبلور دوواره دینامیکی توجیه کرد. تبلور دوواره دینامیکی تحت افزایش کرنش (Strain) منجر به پایدار شدن و در نهایت انتشار گسترده‌ای از الگوی جهت‌یافتنی ترجیحی شبکه‌ای می‌شود (Tommasi et al., 2000).

۷-۲-سیستم لغزشی الیوین در پویادویتهای با دگرگشکلی دما پایین (LT)

الگوی جهت‌یافتنی ترجیحی شبکه‌ای کانی الیوین در نمونه‌های با دگرگشکلی دما پایین (LT) الگوی فابریکی $[100^{\circ}\text{C}]$ دما پایین (100°C درجه سانتی گراد) Carter & Ave Lallement, 1970; (Raleigh, 1968) را نشان می‌دهد (شکل ۱۴). این الگوی جهت‌یافتنی ترجیحی شبکه‌ای احتمالاً ناشی از جابه‌جایی لغزشی بر روی سیستم $[100^{\circ}\text{C}]$ است و معمولاً سیستم لغزشی $[100^{\circ}\text{C}]$ به عنوان یک سیستم لغزشی فرعی در نظر گرفته می‌شود (Tommasi et al., 2000).

۸-نتیجه‌گیری

جهت‌یابیهای خطوارگی درون تکتونیتهای الترامافیک دو روند اصلی را نشان می‌دهند: ۱- روند خطوارگی موجود در مسیر دگرگشکلیهای دما بالا و دما متوسط (حاصل از جریانهای گوشه‌ای) با جهت شمال خاوری - جنوب باخری و ۲- روند خطوارگی موجود در مسیر دگرگشکلی دما پایین (درون

فقیر از کروم و غنی از آلمینیم (تیپ II) می‌توانند یا حاصل واکنش مذاب بازالتی سرشار از آلمین با بلورهای کرومیت اولیه (تیپ I) و یا حاصل تبلور و تفرقی ماگمای بازالتی عبوری سرشار از Al و اشبع از Cr از داخل تکتونیتها باشند. تشکیل بلورهای کرومیت در امتداد رخ پیروکسنها و یا در اطراف کانیهای پیروکسن و الیوین (به صورت سایه فشارشی دروغین) و همچنین به صورت قطره‌های کوچک بی‌شکل و یا به صورت کرمی شکل که خطوارگی کششی را نیز تشکیل می‌دهند، می‌تواند گویای تبلور نسل متأخر دیگری از کرومیتها (تیپ II) باشد.

کرومیتها غنی از کروم (Cr) (تیپ I) احتمالاً باقی‌ماندهای از سنگ اولیه (کروم - اسپیل لرزولیت) می‌باشند که تحت تأثیر ذوب بخشی اندک، قسمت اعظمی از آلمینیم (Al) خود را از دست داده و بنابراین باقی‌مانده دیرگداز (تفاله) حاصل از ذوب بخشی می‌باشد. وجود کلینوپیروکسنها و ارتپیروکسنها غنی از Cr در این پریدوتیتها می‌تواند نشانه‌ای از میزان ذوب بخشی بسیار محدود در این پریدوتیتها باشد.

پهنه‌های برشی اشاره شده احتمالاً در مراحل اولیه جداشدگی سنگ کره (Oceanic mantle lithosphere detachment) گوشه‌ای اقیانوسی (اقیانوسی) ایجاد گردیده‌اند. شکستگی‌های مرتبط با این پهنه‌های برشی در درون تکتونیتهای الترامافیک منجر به نفوذ محلولهای داغ و ایجاد دگرسانی گرمابی از نوع ترمولیتی، مگنتیتی، تالکی، کربناتی و سرپانتینیتی درون پریدوتیتها شده‌اند.

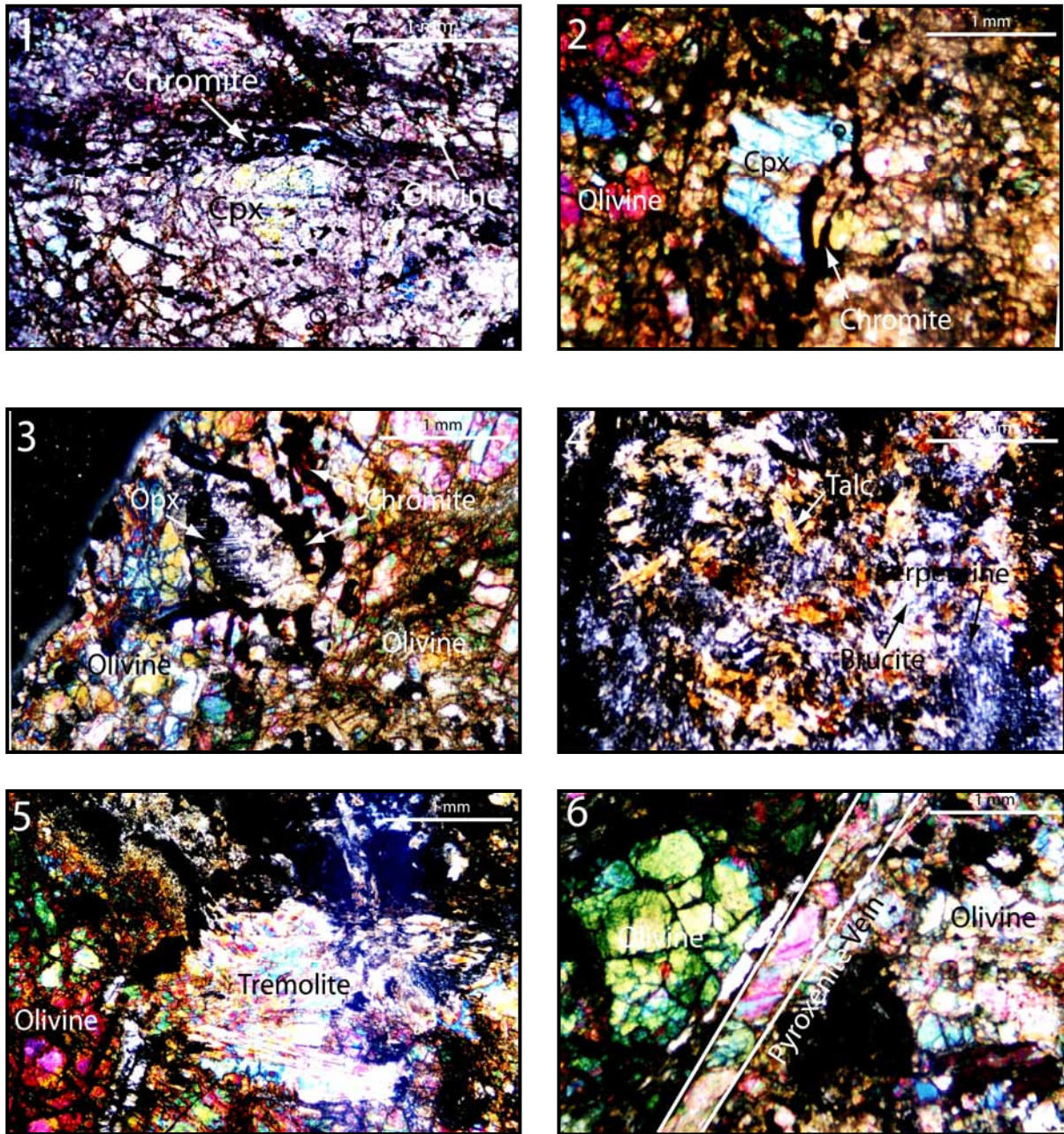
فعالیت پهنه برشی است که می‌تواند منجر به غالب شدن سیستم لغزشی [۱۰۱] در پهنه‌های برشی شود.

الگوهای جهت‌یافتنگی ترجیحی شبکه‌ای کانی الیوین از سیستم لغزشی [۱۰۰] نمونه‌های سست کرده گوشه‌ای به الگوی [۱۰۰] (0kl) نمونه‌های سنگ کرده گوشه‌ای و در نهایت به الگوی [۱۰۰] (001) نمونه‌های پهنه‌های برشی تغییر می‌کند. در نتیجه، جهت‌گیری محورهای بلورشناختی کانی الیوین در مختصات هندسی تغییر کرده است. بنابراین می‌توان نتیجه گرفت که الگوی جهت‌یافتنگی ترجیحی شبکه‌ای کانی الیوین درون پهنه‌های برشی دچار تغییر شده و این تغییر با چرخش محور [۰۱۰] بلورهای الیوین مشخص شده است. به نظر می‌رسد که سیستم لغزشی الیوین در پهنه‌های برشی گوشه‌ای منطقه با سیستم لغزشی عمل کننده در تکتونیتهای گوشه‌ای متفاوت بوده و به عبارت دیگر این سیستم لغزشی یک سیستم دما پایین‌تر (نسبت به تکتونیتها) یعنی [001] (000) است (شکل ۱۶). با توجه به داده‌های ژئوشیمیابی دو نوع کرومیت درون پریدوتیها قابل تشخیص است: I- بلورهای کرومیت با عدد کروم (Cr#) بالا و II- بلورهای کرومیت با مقدار عدد کروم (Cr#) پایین.

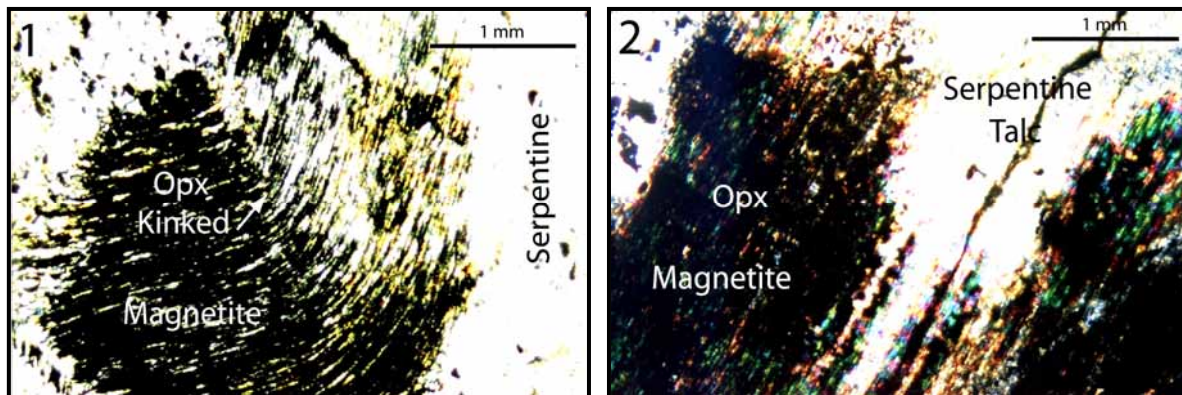
با توجه به داده‌های فوق می‌توان نتیجه گرفت که در مراحل اولیه جداشدگی اقیانوسی و توسعه پهنه‌های برشی ثانویه در سنگ کرده گوشه‌ای فرایند ذوب بخشی در طول پهنه‌های برشی اتفاق افتد است که منجر به ایجاد مذاب بازالتی غنی از آلمین شده است. در این صورت کرومیتها



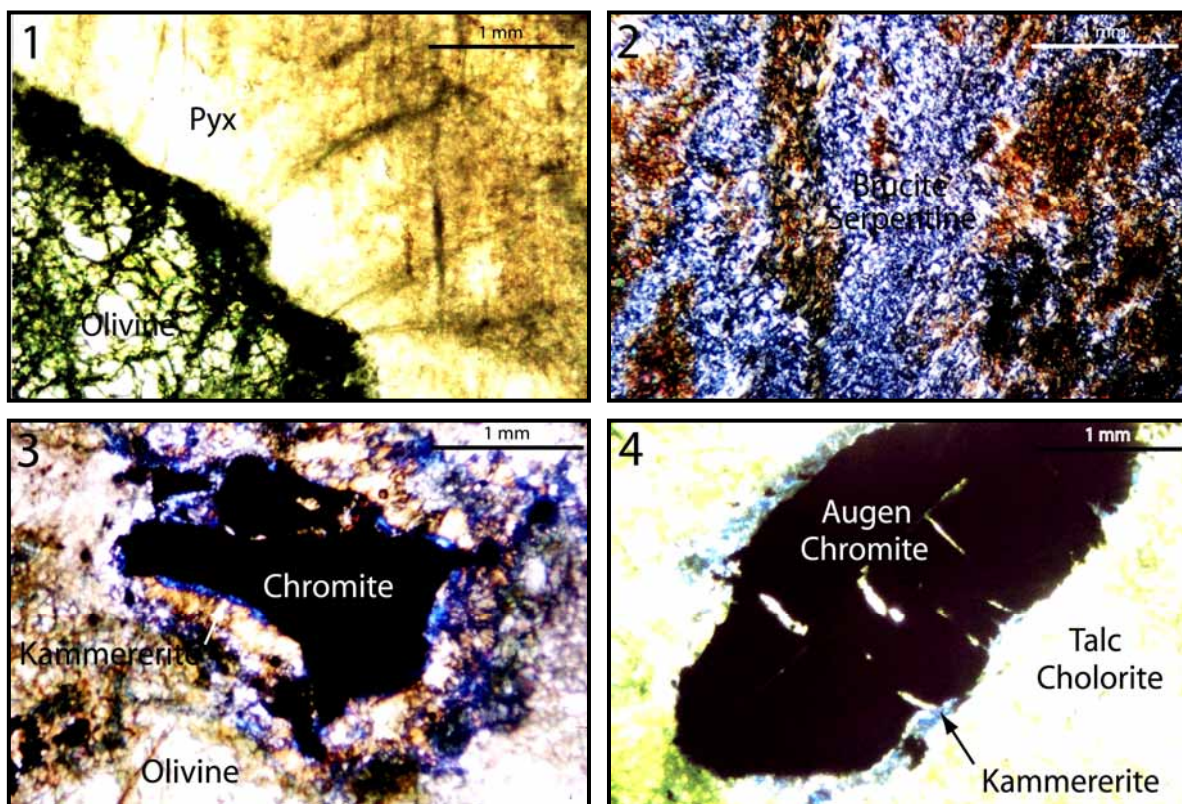
شکل ۱- نقشه خطوارگی همراه با مسیرهای دگرگشکلی و واحدهای تکتونیتی‌ای اولترامافیک در مجموعه افیولیتی خوی با استفاده از داده‌های ماهواره ندست ۷. روند خطوارگیهای موجود در مسیر دگرگشکلی دما بالا و دما متوسط (حاصل از جریان گوشته‌ای) با جهت شمال خاوری - جنوب باختری و روند خطوارگیهای موجود در مسیر دگرگشکلی دما پایین (درون پهنه‌های برشی) با روند شمال باختری - جنوب خاوری مشخص شده‌اند.



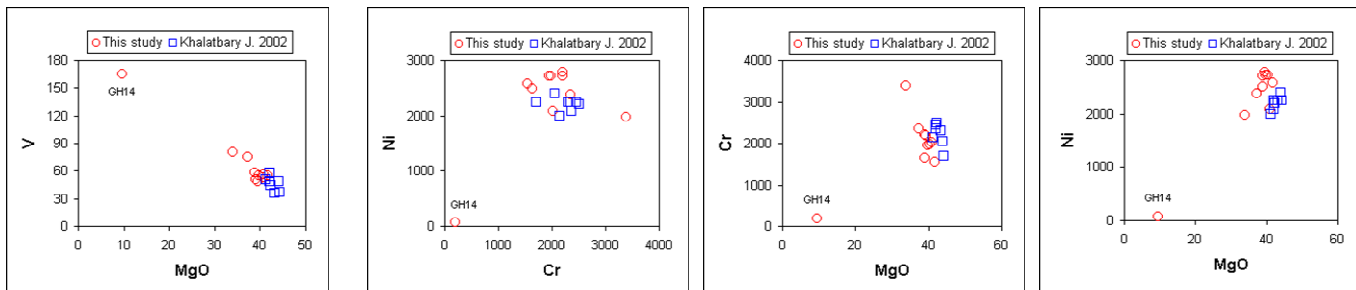
شکل ۲ - نمونه‌های پریدوتیتی واحد گلوانس. ۱- خطوارگی کرومیت که پورفیروکلاست کلینوپیروکسن را در دو جهت دور زده است. ۲- کرومیت به صورت کرمی شکل که خطوارگی کششی را نیز نشان می‌دهد. ۳- کرومیت به صورت قطره‌های کوچک بی‌شکل. ۴- سرپانتینیتها، که در حال تبدیل به تالک و بروسیت هستند. ۵- تشکیل ترمولیت در اثر عملکرد فاز دگرگونی ثانویه درون پریدوتیتها. ۶- رگه‌های کلینوپیروکسنیتی که به احتمال در ارتباط با فاز متاسوماتیسم گوشته‌ای هستند.



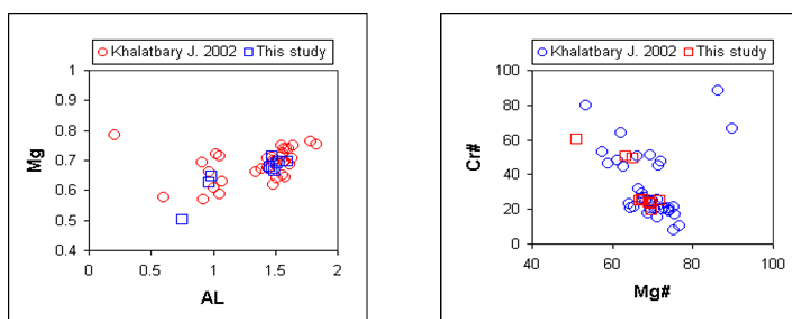
شکل ۳- نمونه‌های پریدوتیتی واحد قینار پایین. حضور مگنتیت بر روی سطوح و در طول رخهای اشکال دروغین ارتپیروکسن، به طوری که رخها و نوارهای شکنجی پیروکسنها حفظ شده و بافت باقی مانده بر جای مانده است.



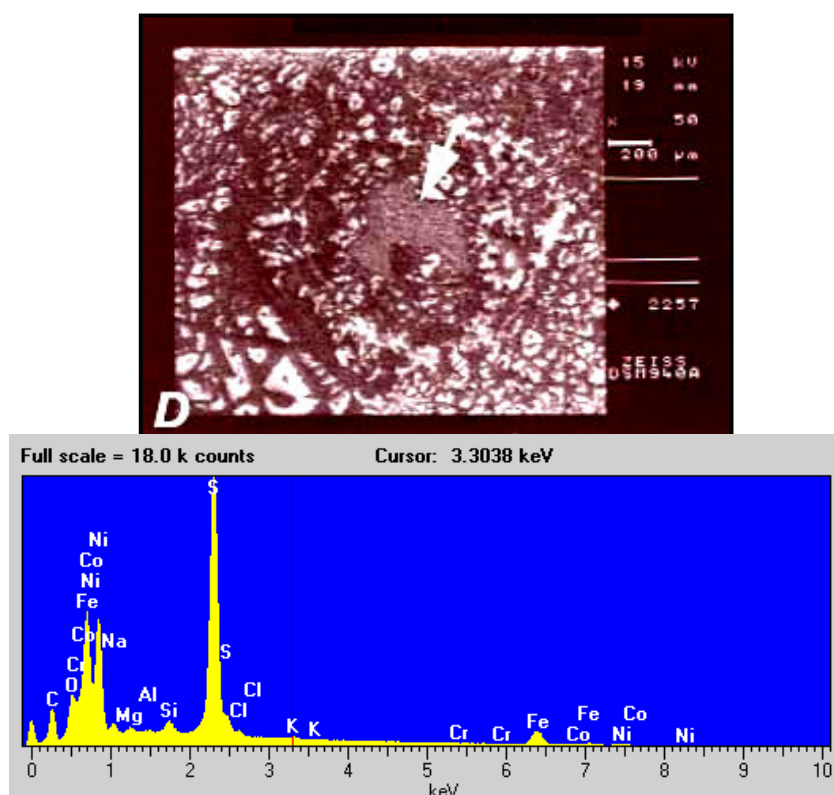
شکل ۴- نمونه‌های پریدوتیتی واحد خانقه. ۱- کلینوپیروکسن دگرسان شده همراه با الیوین کاربیتی شده. ۲- سرپانتنیت، که در حال تبدیل به تالک و بروسیت است. ۳- دانه‌های کرومیت بی‌شکل که در حاشیه به کروم-کلریت (کمرریت) دگرسان شده‌اند. ۴- دانه‌های کرومیت دوکی شکل همراه با الیوینهایی که به شدت تالکی و کلریتی شده‌اند، دانه‌های کرومیت در حاشیه به کروم-کلریت تبدیل شده‌اند.



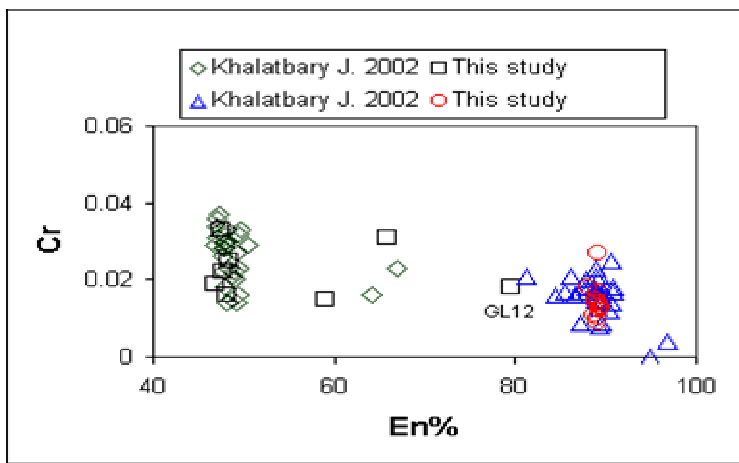
شکل ۵- نمودارهای ژئوشیمیایی کل سنگ. تغییرات عناصر کمیاب در مقابل اکسید منیزیم و همین طور نمودار نیکل در برابر کروم. علاوه بر نمونه‌های متعلق به این مطالعه از تجزیه نمونه‌های پریدوتیتی Khalatbari jafari (2002) نیز به منظور مقایسه استفاده شده است.



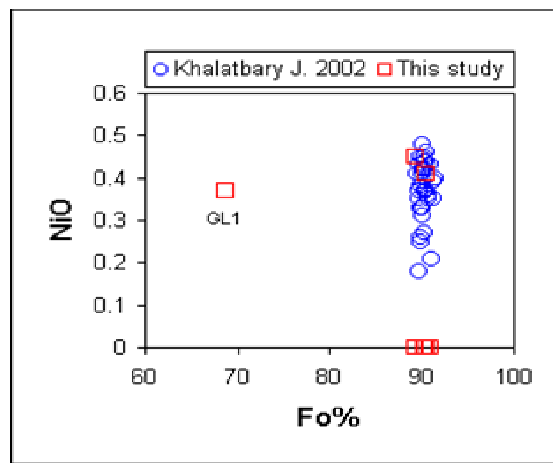
شکل ۶- نمودارهای تغییرات Mg/Al , $Cr\# /Mg\#$ برای کروم - اسپنل تکتونیتهای اولترامافیک.



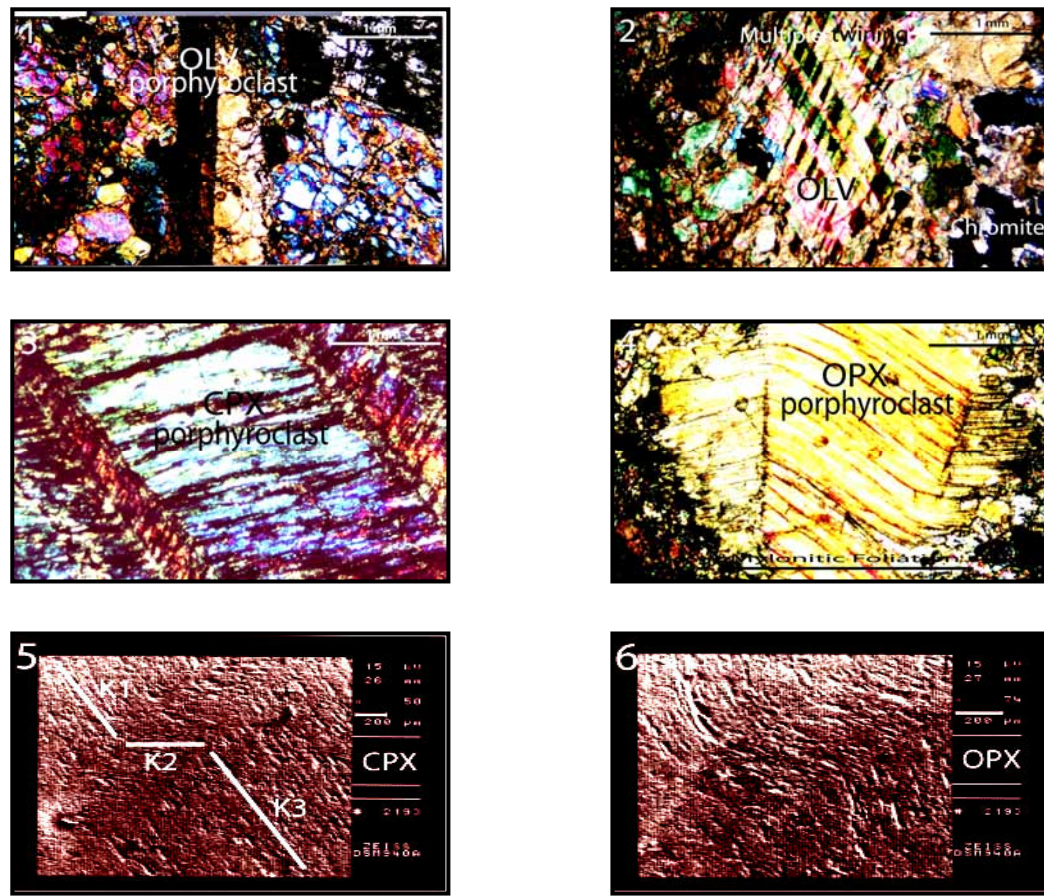
شکل ۷- تصویر SEM مربوط به دانه سولفید در داخل کرومیتهای باقی مانده موجود در پریدوتیتهای گلوانس خوی. تجزیه شیمیایی نیمه کمی مربوط به این دانه سولفید در زیر تصویر نمایان است و نشان می دهد که ترکیب این دانه پنتلاندیت یعنی سولفید نیکل- آهن است.



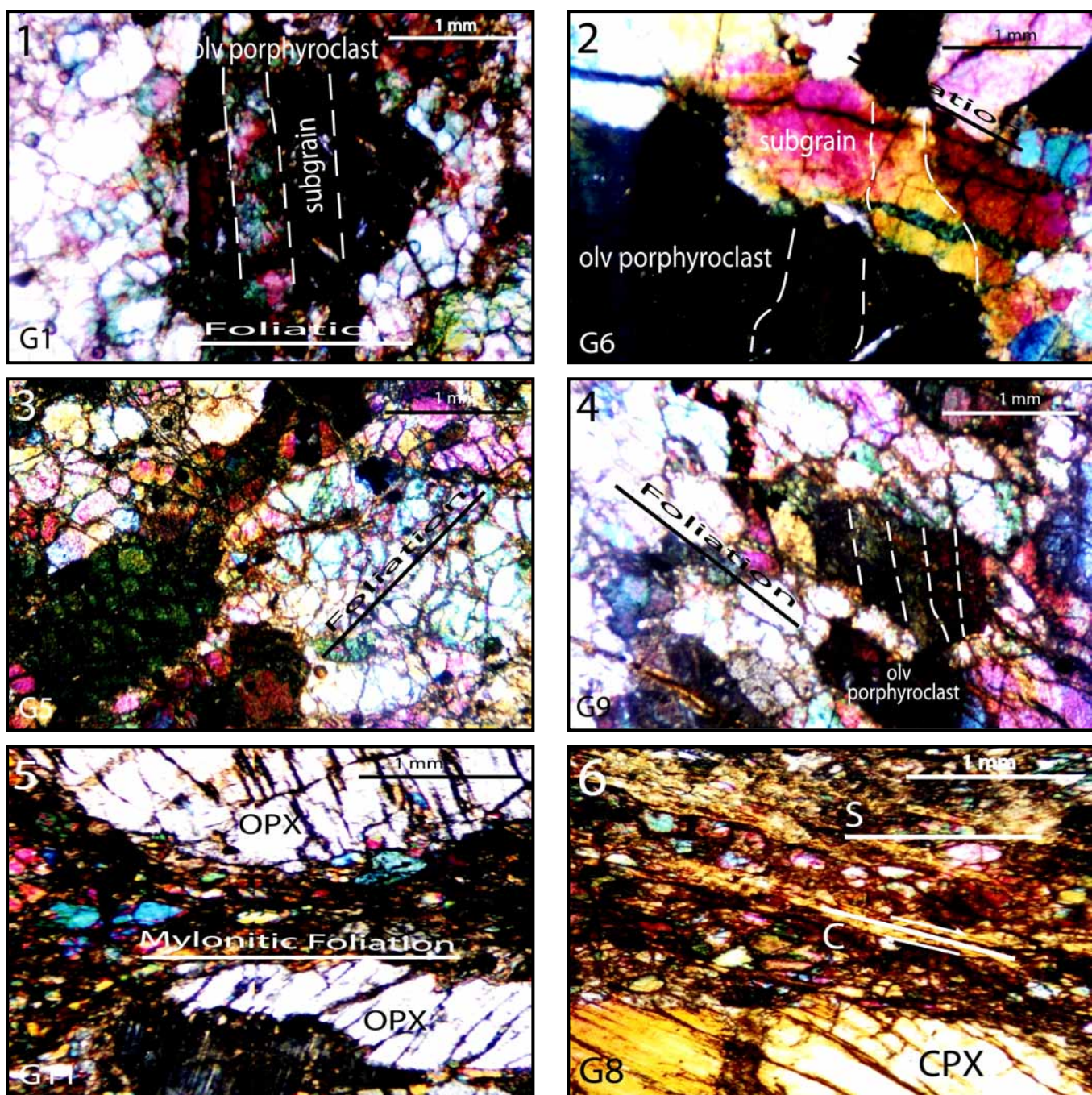
شکل ۹- نمودار تغییرات $\text{Cr}/\text{En}\%$ برای ارتوپیروکسنها و کلینوپیروکسن‌های تکونینهای الترامافیک.



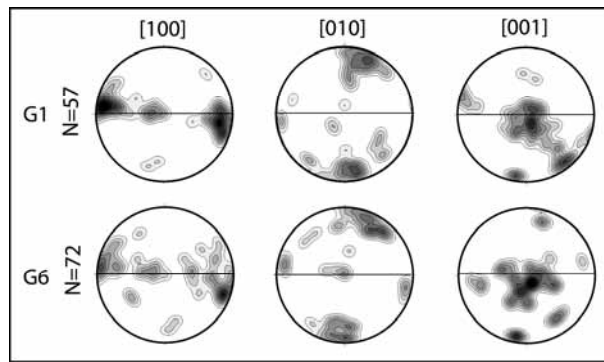
شکل ۸- نمودار تغییرات $\text{NiO}/\text{FO}\%$ برای الیوین تکونینهای اولترامافیک



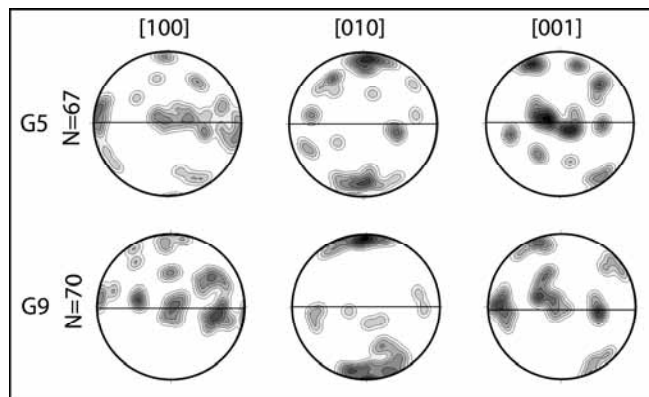
شکل ۱-۶- توسعه دوقلویی دگر شکلی در بلورهای الیوین. ۳- پورفیروکلاست کلینوپیروکسن دارای نوار شکنجی. ۴- پورفیروکلاست ارتوپیروکسن حاوی نوار شکنجی که خمیدگی در نوار شدیدتر می‌باشد. ۵ و ۶- تصاویر الکترون ثانویه (Secondary electron images) از میکروسکوپ الکترونی رویشی (SEM)، چرخش رخها در کانی کلینوپیروکسن همراه با تغییرات هندسه نوارهای شکنجی (K1, K2 & K3)، همان طور که مشاهده می‌شود خمیدگی در نوار شکنجی در ارتوپیروکسن شدیدتر و نشان‌دهنده دگر شکلی پلاستیکی این کانیها در شرایط گوشه‌ای است.



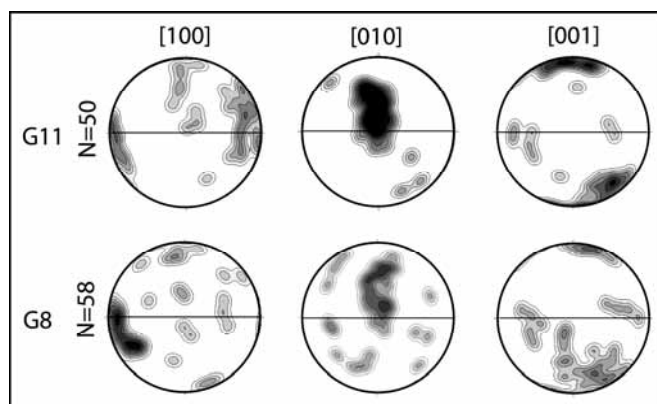
شکل ۱۱- تکامل فابریکی ریزساختارها از بافت پورفیروکلاستیک تخت (۱ و ۲) با دگرگشکلی دما بالا (HT) و بافت پورفیروکلاستیک دوکی شکل (۳ و ۴) با دگرگشکلی دما متوسط (MT) (مریوط به جریانهای سست کردهای گوشه‌ای) به سمت بافت میلونیتی (۵ و ۶) با دگرگشکلی دما پایین (LT) (درون پهنه‌های برشی).



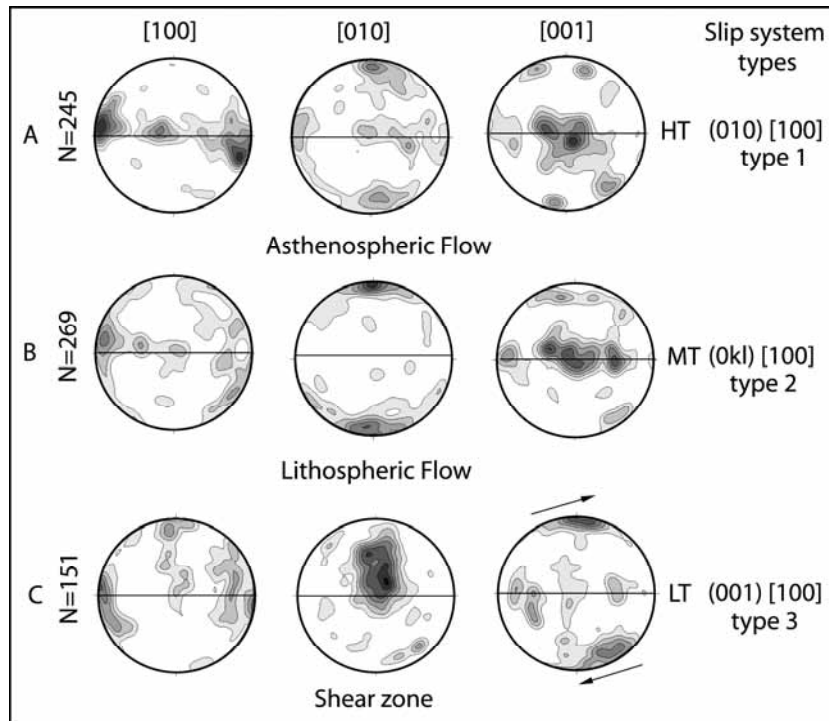
شکل ۱۲- الگوهای جهت یافتنگی ترجیحی شبکه‌ای کانی الیوین در نمونه‌های با دگر شکلی دما بالا (حاصل از جریان سست کردهای گوشتهای) که نشان‌دهنده سیستم لغزشی $[100][010]$ است. داده‌ها بر روی شبکه هم مساحت یا شبکه اشمیت (نیمکره پایینی) پیاده شده است. N تعداد قطب‌های اندازه‌گیری شده، بیشترین چگالی ۶۰۱ و کنتور شده در فواصل ۱ تا ۶ درصد. شماره نمونه‌ها (G1,G6) مطابق با شکل شماره ۱۱ است. (G1,G6) نمونه‌های منتخب.



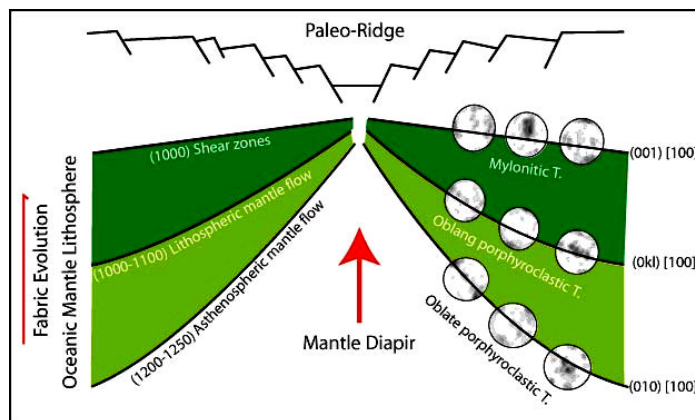
شکل ۱۳- الگوهای جهت یافتنگی ترجیحی شبکه‌ای کانی الیوین در نمونه‌های با دگر شکلی دما متوسط (حاصل از جریان سنگ کردهای گوشتهای) که نشان‌دهنده سیستم لغزشی $[100](0kl)$ است. داده‌ها بر روی شبکه هم مساحت یا شبکه اشمیت (نیمکره پایینی) پیاده شده است. N تعداد قطب‌های اندازه‌گیری شده، بیشترین چگالی ۶۰۱ و کنتور شده در فواصل ۱ تا ۶ درصد. شماره نمونه‌ها (G5,G9) مطابق با شکل شماره ۱۱ است. (G5,G9) نمونه‌های منتخب.



شکل ۱۴- الگوهای جهت یافتنگی ترجیحی شبکه‌ای کانی الیوین در نمونه‌های با دگر شکلی دما پایین (حاصل از پهنه‌های برشی) که نشان‌دهنده سیستم لغزشی $[100][001]$ است. داده‌ها بر روی شبکه هم مساحت یا شبکه اشمیت (نیمکره پایینی) پیاده شده است. N تعداد قطب‌های اندازه‌گیری شده، بیشترین چگالی ۶۰۱ و کنتور شده در فواصل ۱ تا ۶ درصد. شماره نمونه‌ها (G8,G11) مطابق با شکل شماره ۱۱ است. (G8,G11) نمونه‌های منتخب.



شکل ۱۵- A- کل داده‌های الگوهای جهت یافتنگی ترجیحی شبکه‌ای کانی الیوین در نمونه‌های با دگرگشکلی دما بالا (حاصل از جریان سست کرده‌ای گوشه‌ای) که نشان‌دهنده سیستم لغزشی $[100] \times [100]$ است، کل داده‌ها مطابق با شکل شماره ۱۲ می‌باشد. B- کل داده‌های الگوهای جهت یافتنگی ترجیحی شبکه‌ای کانی الیوین در نمونه‌های با دگرگشکلی دما متوسط (حاصل از جریان سنگ کرده گوشه‌ای) که نشان‌دهنده سیستم لغزشی $[0kl] \times [100]$ است، و کل داده‌ها مطابق با شکل شماره ۱۳ است. C- کل داده‌های الگوهای جهت یافتنگی ترجیحی شبکه‌ای کانی الیوین در نمونه‌های با دگرگشکلی دما پایین (حاصل از پهنه‌های برشی) که نشان‌دهنده سیستم لغزشی $[001] \times [100]$ است، و کل داده‌ها مطابق با شکل شماره ۱۴ است.



شکل ۱۶- طراحی مدل تکامل دینامیکی سنگ کرده گوشه‌ای مجموعه افیولیتی خوی. الگوهای جهت یافتنگی ترجیحی شبکه‌ای مطابق با شکل شماره ۱۵ است.

References

- Amini,B., Radfar, J., Khalatbari, M. & Behrudi,A., 1993- Geological map of the Dizaj Quadrangle, Scale 1/100,000, Geological Survey of Iran.
- Ave-Lallement, H. G., 1975- Mechanism of preferred orientations in olivine in tectonite peridotites, Geology, 3: 653-656.
- Azizi, H., 2001- Petrography, petrology and geochemistry of metamorphic rocks in the north of Khoy, PHD thesis. Univ. Teacher Education, Tehran, Iran, 251p.
- Azizi, H., Moinevaziri, H., Mohajel, M. & Yaghobpoor, A., 2005- PTt path in metamorphic rocks of the Khoy region (northwest of Iran) and their tectonic significance for Cretaceous Tertiary continental collision, Journal of Asian Earth Sciences, 1-9.
- Bai, Q., Mackwell, S. J. & Kohlstedt, D. L., 1991- High temperature creep of olivine single crystals. 1. Mechanism results for buffered samples, Journal of Geophysical Research, 96: 2441- 2463.
- Bai, Q. & kohlstedt, D. L., 1992- High – temperature creep of olivine single crystals. 2. Dislocation structures, Tectonophysics, 206: 1-29.
- Boudier, F., 1978- Structure and petrology of the Lanzo peridotite massif (Piedmont Alps), Geol. Soc. Am. Bull., 89: 1574- 1591.
- Carter, N. & Ave Lallement, H. G., 1970- High temperature flow of dunite and peridotite, Geol. Soc. Am. Bull., 81: 2181- 2202.
- Dijkstra, A. H., Drury, M. R., Vissers, R. L. M. & Newman, J., 2001- On the role of melt-rock reaction in mantle shear zone formation in the Othris peridotite Massif (Greece), Journal of Structural Geology, 24: 1431-1450.
- Durham, W. B. & Goetze, G., 1977- Plastic flow of oriented singles crystals of olivine. 1. Mechanism data, Journal of Geophysical Research, 83: 5755-5770.
- Ghorashi, M. & Arshadi, S., 1978- Geological map of the Khoy Quadrangle, Scale 1/250,000, Geological Survey of Iran.
- Harter, B., 1977- Rock nomenclature with particular relation to deformation and recrystallization textures in olivine-bearing xenoliths, J. Geol., 85: 279-288.
- Hassnnipak, A. & Ghazi, M., 2000- Petrology, geochemistry and tectonic setting of the Khoy ophiolite, northwest Iran: implications for Trthyan tectonics, Journal of Asian Earth Sciences, 18: 109-121.
- Johnson, K.T.M. & Dick, H.J.B. & Shimizu, N., 1990- Melting in the oceanic upper mantle: an ion microprobe study of diopsides in abyssal peridotites. Journal of Geophysical Research, 95: 2661-2678.
- Khalatbari jafari, M., 2002- Etude géologique, petro-geochimique et geochronologique des ophiolites de la région de Khoy (Iran), PHD thesis, Univ. Bretagne Occidentale, Brest, France, 252 p.
- Khalatbari jafari, M., Juteau, T., Bellon, H. & Emami, H., 2003- Discovery of two ophiolite complexes of different ages in the Khoy area (NW Iran), Geodynamics, 335: 917-929.
- Khalatbari jafari, M., Juteau, T., Bellon, H., Whitechurch, H., Cotton, J. & Emami, H., 2004-New geological, geochronological and geochemical investigation on the Khoy ophiolites and related formations, NW Iran, Journal of Asian Earth Sciences, 23: 507-535.
- Law, R. D., Knipe, R.J. & Dayan, H., 1984- Strain path partitioning within thrust sheets: microstructural and petrofabric evidence from the Moine thrust zone at Loch Eriboll, NW Scotland, Journal of Structural Geology, 6: 477-498.
- Mercier, J. L. & Nicolas, A., 1975- Textures and fabrics of upper mantle peridotites as illustrated by basalt xenoliths, J. Petrol., 16: 454-487.
- Mercier, J. L., 1985- Olivine and pyroxenes. In: H. R. Wenk (Editor), Preferred Orientation in Deformed Metals and Rocks: an Introduction to Modern Textures Analysis, Academic Press, New York, N. Y., 407-430.
- Nicolas, A., Boudier, F. & Boullier, A. M., 1973- Mechanism of flow in naturally and experimentally deformed peridotites, Am. J. Sci., 280: 192-210.
- Nicolas, A. & Poirier, J.P., 1976- Crystalline Plasticity and Solid State flow in Metamorphic Rocks, London: John Wiley,444 p.
- Nicolas, A., 1989- Structures of Ophiolites and Dynamics of Oceanic Lithosphere, Kluwer, Dordrecht, 367 p.
- Poirier, J. P. & Nicolas, A., 1975- Deformation induced rycrystallization by progressive misorientation of subgrain boundaries with special reference to mantle peridotites, J. Geol., 83: 707-720.
- Radfar,J., Amini,B. & Khalatbari,M.,1993-Geological map of the Khoy Quadrangle,Scale1/100,000,Geological Survey of Iran.
- Simpson, C. & Schmid, S. M., 1983- An evaluation of criteria to deduce the sense of movement in sheared rocks, Bull. Geol. Soc. Am., 94: 1281-1288.
- Rahgoshay, M., 1986- Les chromites et leurs gisements dans les complexes ophiolitiques de la chaîne du Taurus (Turquie), comparaison avec les gisements omanais. These Doct. Etat., Univ. L. Pasteur, Strasbourg, France.
- Raleigh, C.B., 1968- Mechanism of plastic deformation of olivine. Journal of Geophysical Research, 73: 5391-5406.
- Tommasi, A., Mainprice, D., Canova, G. & Chastel, Y., 2000- Viscoplastic self-consistent and equilibrium-based modeling of olivine lattice preferred orientations. Implications for upper mantle seismic anisotropy, Journal of Geophysical Research, 105: 7893-7908.

- Van Derwal, D., Vissers, L.M., Drury, M.R. & Hoogerduijn Strating, E. H., 1992- Oblique fabrics in porphyroclastic Alpine-type peridotites: a shear-sense indicator for upper mantle flow, Journal of Structural Geology, 14: 839-846.
- White, S. H., Evans, D. & Zhong, D. L., 1982- Fault rocks of the Moine Thrust Zone: Microstructures and textures of selected mylonites, Textures Microstructure, 5:33-61.
- Zhang, S. & Karato, S., 1995- *Lattice* preferred orientation of olivine aggregates in simple shear, Nature, 375: 774-777.
- Zhang,S.,Karato,S.,FitzGerald,F., Faul,U.H. & Zhou,Y.,2000-Simple shear deformation of olivine aggregates, Tectonophysics, 316: 133-152.